

Yurdumuzda kullanılan muhtelif tip çelikle donatılmış kirişlerin davranış ve mukavemeti

Metin Arıkan*-Dr. Uğur Ersoy**

I — GİRİŞ

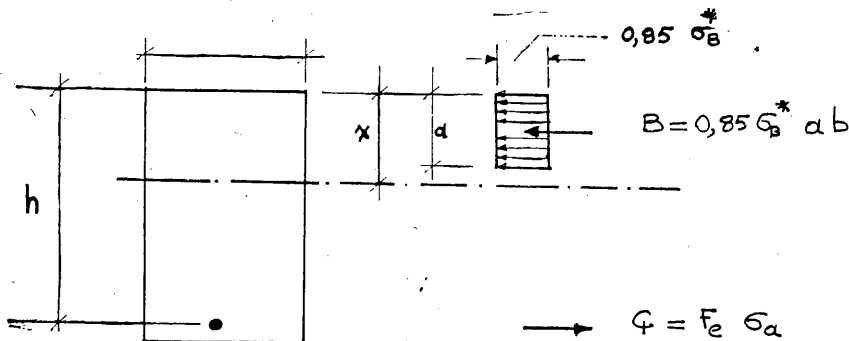
Betonarme yapı elemanlarında aranan önemli özellikler, yüksek taşıma gücü, az deformasyon ve minimum çatlak genişliğidir. Bu özellikler kullanılan donatının karakteriyle取决于.

Aşağıda gösterildiği gibi, kiriş geometrisi ve yükleme şekli aynı kalmak şartı ile, kesitin taşıma gücü, yaklaşık olarak kullanılan donatının mukavemeti, yani akma gerilmesine orantılı olarak değişir. Normal donatlı kirişlerde beton mukavemeti ancak moment koluunu etkiler ve bu etki genel olarak ihmâl edilebilcek kadar küçütür. Bu aşağıdaki şekilde kolayca görülebilir.

Deformasyonlar, donatı olarak kullanılan çelik cinsi ile, çatlak genişliği ve aralığı ise, donatının nervürlü olup olmaması, nervür geometrisi ve çelik kalitesi ile etkilenir.

Araştırmancın Gayesi

İçinde çelik, deformasyon, çatlak genişliğinin çelik cinsi ile nasıl etkilendiğini incelemek için 6 adet kiriş eğilmeye tabi tutularak denendi. Donatı olarak torçelik (Özel, St—III b, soğuk işleme tabi tutulmuş, burulmuş, nervürlü), Metaş (normal, St—III a, nervürlü ve yüksek mukavemetli) ve normal, nervürsüz çelik (St—I) kullanılmıştır.



Denge Şartları :

$$0,85 \sigma_b^* \alpha b = F_e \sigma_a$$

$$M_a = F_e \sigma_a \left(h - \frac{\alpha}{2} \right)$$

Bu iki denklemden,

$$M_a = F_e \sigma_a \left(h - 0,59 \frac{F_e \sigma_a}{b \sigma_b^*} \right)$$

Şekil 1 — Dikdörtgen Kesitli Bir Kirişin Taşıma Gücü

II — DENEY ELEMANLARI VE DENEY TEKNİĞİ

1 . Deney Elemanları

Deney elemanı olarak ebadı Şekil 2 de gösterilen kirişler kullanılmıştır. Kirişlerin kayma gerilimlerinden dolayı kırılmasını önlemek için kesme kuvvetlerinin bulunduğu bölgelerde etriye kullanılmıştır. Şekil 2 de deney elemanlarının boyutları, tablo 1 de ise deney elemanlarının özellikleri gösterilmiştir.

2. Malzeme ve Elemanların Hazırlanması

a) Beton

Bu araştırma için hazırlanan elemanlarda, 28 günlük silindir basınç mukavemeti yaklaşık olarak 300 kg/cm olan bir beton karışımı kullanılmıştır. 1 metreküp beton için kullanılan malzeme listesi aşağıda verilmiştir.

650 kg kum

410 kg ince çakıl 3 mm < D
< 7 mm

825 kg iri çakıl 7 mm < D
< 15 mm

410 kg Çorum fabrikası malzülü «Normal Portland Çimento-su»

185 kg su

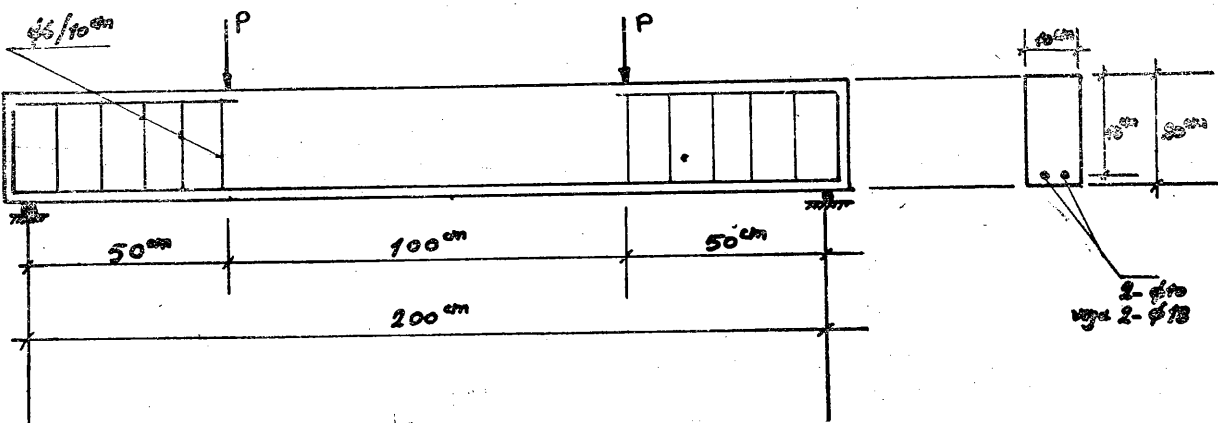
b) Çelik

Kirişlerde donatı olarak üç tip çelik kullanılmıştır. Soğukta çekilmiş ve burulmuş torçelik (St—III b), normal, nervürlü metaş (St—III a) ve normal, nervürsüz çelik (St—I). Her tip çelik için karekteristik «gerilme—birim uzama» ($\sigma - \epsilon$) eğrileri Şekil 3 de verilmiştir.

*) ODTÜ. İnşaat Mühendisliği Bölümünde Asistan.

**) ODTÜ İnşaat Mühendisliği Bölümünde Asosye Profesör.

...İNCELEMELER



Şekil 2 — Deney Elemanlarının Boyutları

Tablo 1 — Deney Elemanlarının Özellikleri

Deney elemanı	Donatı	Donatı pursantajı	Çelik cinsi	Akma gerilmesi	Beton silindir	Beton çekme mukavemeti
					σ_a (kg/cm ²)	σ_B^* (kg/cm ²)
1	2—Ø 10	0,009	Düz	2600	190	25
2	2—Ø 10	0,009	Torçelik	4900	300	30
3	2—Ø 10	0,009	Metaş	5900	290	33
4	2—Ø 10	0,009	Metaş	5800	290	33
5	2—Ø 18	0,028	Düz	2800	360	37
6	2—Ø 18	0,028	Düz	2700	300	32

Not — 1 Beton çekme mukavemeti yarıma silindir deneyi ile tayin edilmiştir.

Not — 2 4 numaralı elemanda momentin sabit olduğu bölgede de 10 cm. ara ile etriye konmuştur.

c) Elemanların Hazırlanması

Beton Na — Ce tipi 250 lt kapasiteli bir betoniyer ile karıştırılmış çelik kalıp içine dökülmüştür. Her eleman için 5 adet standart silindir numuneleri alınmış, bu numunelerden 3 tanesi beton basınç mukavemetini, diğer 2 tanesi ise yarıma deneyi ile beton çekme mukavemetini tayin etmek üzere kullanılmıştır.

Dökülen elemanlar bir gün çelik kalıpta beklettiğten sonra alınmış ve hergün bir iki defa sulanmak suretiyle naylon örtüler altında nemlendirilerek, laboratuvar ortamında muhafaza edilmiştir. Silindirler, deney elemanı ile aynı

şartlar altında tutulmuştur. Deney elemanları, deneyden önce, çatlakların daha iyi görülebilmesi için kireçli su ile boyanmıştır.

3. Deney Tekniği

a) Yükleme Sistemi

Şekil 4 de görüldüğü gibi, deney elemanları basit olarak iki mesnet üzerine oturtulmuştur. Yükleme çerçevesi 50 Ton kapasiteli MİTAŞ firması mamülüdür. Yükler tek kumanda kolundan iki hidrolik pres vasıtasiyle verilmiştir.

b) Ölçü Aletleri

Kirişteki maksimum sehimini ölçmek için kirişin ortasına 0,00254 cm hassasiyetinde bir komparatör yerleştirilmiş ve her yüklemede o-

kuma alınmıştır.

Rostasyon ölçmek için Şekil 5 de gösterilen özel bir sistem imâl edilmiştir. Sistemde kullanılan komparatörlerin hassasiyeti 0,01 mm dir.

Her yüklemektedeki yük, hidrolik preslerin altına yerleştirilen elektronik yük hücreleri (LOAD-CELL) vasıtasiyle tesbit edilmiş ve yüklerin birbirine eşit olup olmadığı kontrol edilmiştir. Yük hücreleri ODTÜ, İnşaat Mühendisliği Bölümü, Static Laboratuvarında imâl edilmiştir.

Çeliğin «çekme — birim uzama» ($\sigma - \epsilon$) eğrisi RIEHLE firması mamulu Universel çekme aleti ile elde edilmiştir.

c) Yükleme

Yükler genellikle 200 kilogramlık aralıklarla verilmiş, kirişin kırılmasına yakın bu miktar 100 kilograma, bazen 50 kilograma kadar indirilmiştir. Her yük aralığı ortalamada olarak 2 ilâ 3 dakika sürmüştür, bu sürede tesbit edilen çatlaklar işaretlenmiştir. Her deney yaklaşık olarak birbirinden 2 saatte tamamlanmıştır.

III — DENEY SONUÇLARI

1. Kirişlerin Davranışı

İlk çatlaklar momentin sabit olduğu bölgede meydana gelmiş ve kiriş boyuna dik olarak ilerlemiştir. Donatının akmasına yakın çatlaklar çatallaşmış, kırılma çelik aktıktan çok sonra basınç bölgesindeki betonun dağılması ile meydana gelmiştir.

... İNCELEMELER

Yük ve mesnet arasındaki ilk çatlaklar kırış eksenine dik olarak görülmüş, yük arttıkça kayma gerilmelerinin etkisi ile bu çatlaklar kırış eksenine yaklaşık olarak 45 derece bir açı yapacak şekilde eğikleşmiştir. Bu bölgeye konan etriyeler, kayma çatlaklarının kırış kırılmasını etkilemesini önlemiştir.

Çatlak aralıklarının düz demirle donatılmış kırışlerde daha fazla (ortalama 11 — 12 cm) metaş ve torçelikle donatılmış kırışlerde daha az (6 — 7 cm) olduğu görülmüştür.

Kırılma anında yaklaşık olarak 2 mm olan maksimum çatlak genişliği, beton dağıldıktan sonra 4 mm ye kadar çıkmıştır. Tablo 2 de deney sonuçları, Şekil 6 da ise kırışların deneyden sonraki durumları gösterilmiştir.

2. Kırış Deformasyonları

a) Yük — Sehim Değişimi ($P - \Delta$ Eğrisi)

Her yüklemede sehim, kırış ortasına yerleştirilmiş bir komparator vasıtasiyle ölçülmüştür.

En fazla sehim beklenildiği gibi $2-\varnothing 10$ düz çelikle donatılmış olan kırıştır ölçülmüştür (76,4 mm). 10'luk Metaş ve Torçelikle donatılmış kırışların maksimum sehimleri birbirine yakın olmuşlardır.

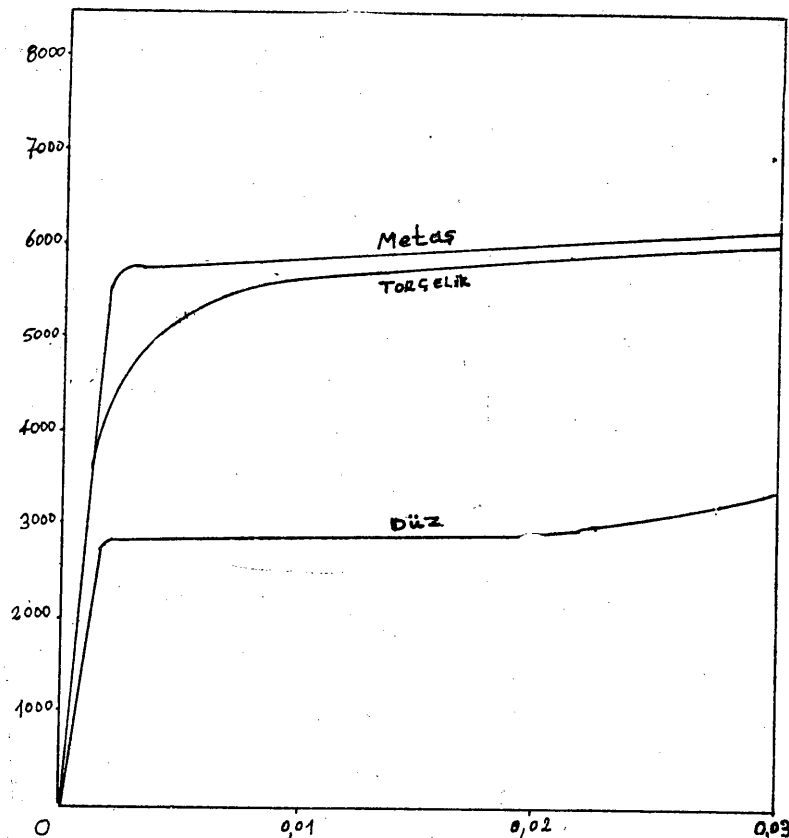
Tablo 2 — Deney Sonuçları

Kırış	σ_a^* (kg/cm ²)	σ_B^* (kg/cm ²)	Donatı	Kırılma yükü P (kg)	Kırılma momenti M_t (t—cm)	Maksimum çatlak genişliği (mm)
1	2600	190	$2-\varnothing 10(D)$	1400	70	2,8
2	4900	300	$2-\varnothing 10(T)$	3000	150	1,9
3	5900	290	$2-\varnothing 10(M)$	3100	155	2,5
4	5800	290	$2-\varnothing 10(M)$	3300	165	2,0
5	2800	360	$2-\varnothing 18(D)$	4800	240	2,3
6	2700	300	$2-\varnothing 18(D)$	4500	225	1,5

Not : (M) Metaş

(T) Torçelik

(D) Düz



Şekil 3 — Kullanılan 3 tip Çeligin Tipik ($\sigma - \epsilon$) Eğrileri

En az sehim, donatısı $2-\varnothing 18$ olan 5 ve 6 no.lu kırışlerde müşahade edilmiştir (18 mm).

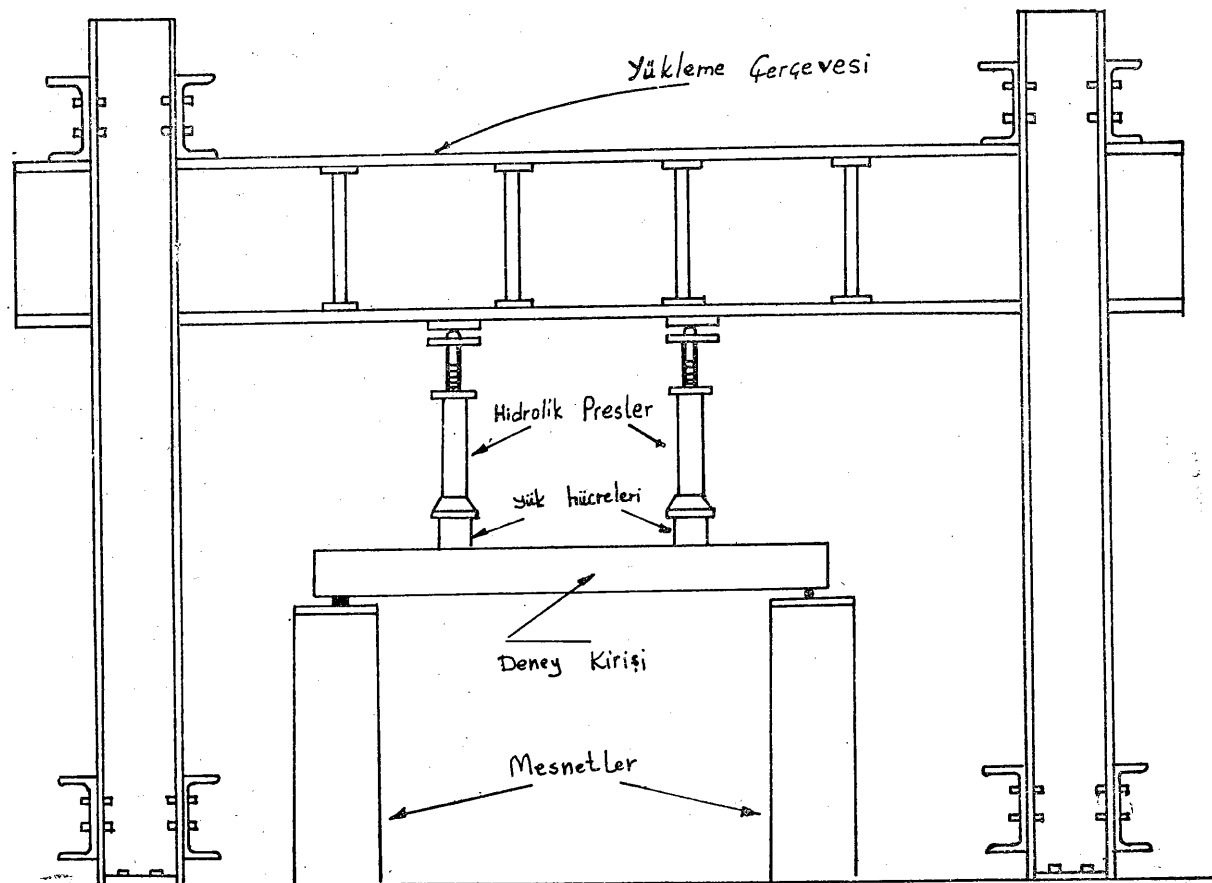
Kırışların yük — sehim eğrileri genellikle aynı karakteri göstermiştir. İlk çatlama anına tekabül eden yüke kadar lineer olan eğri,

bu noktadan sonra genel olarak lineerliğini kaybetmiştir. Eğrilerin çatlamadan sonraki eğiminin, ilk eğime nazaran çok daha az olduğu Şekil 7 den kolayca görülebilir. Donatı akma sınırına erişiktken sonra, kırış yükü aynı kaldığı veya çok az arttığı halde sehim kırılma anına kadar artmaya devam etmiştir.

b) Moment — Dönme Açısı Değişimi

Dönme açısını hesab etmek için altta ve üstte kırış boyuna paralel olarak yerleştirilmiş rotasyon aletinden faydalılmış olup, hesap tarzı Şekil 8 de izah edilmiştir. Hesaplarda, kırış derinliğince, birim uzama ve kısalma dağılımının lineer olduğu kabul edilmiştir. Bu husus gerek ODTÜ de, gerekse diğer birçok laboratuvarlarında yapılan deneylerle ispatlanmış olduğundan burada ayrıca tartışılmamıştır.

Şekil 9 da kırışların moment — birim dönme açısı eğrileri gö-



Şekil 4 — Yükleme Sistemi

terilmiştir. En fazla birim dönme açısı, $2-\varnothing 10$ düz çelikle donatılmış kirişte ölçülmüştür. Yük — sehim eğrilerinde de görüldüğü gibi kirişlerin moment — dönme açısı eğrileri genellikle aynı karakteri göstermektedir. İlk çatlağın meydana gelmesinden sonra dönme açısının artışı hızlanmıştır. Donatı akma sınırına ulaştıktan sonra sabit veya az artan moment altında rotasyon süratle çoğalmıştır.

c) Çelik ve Betonda Birim Deformasyon

Çelik ve betondaki birim deformasyon eğrileri Şekil 10 ve 11 de gösterilmiştir. Betonda en fazla birim kısalma $2-\varnothing 10$ nervürsüz çelikle donatılmış kirişte ölçülmüştür ($0,00573 \text{ cm/cm}$). En az birim kısalma ise nervürlü çelikle donatılmış kirişlerde müşahede edilmiştir ($0,00410 \text{ cm/cm}$). Eğriler genellikle aynı özellikleri göstermektedir.

d) Tarafsız Eksenin Değişmesi

Çelikte en fazla birim uzama, betonda olduğu gibi, $2-\varnothing 10$ nervürsüz çelikle donatılmış kirişte ölçülmüştür ($0,02820 \text{ cm/cm}$). Bu değer aynı çeliğin akma sınırındaki birim uzamasının hemen hemen 25 katıdır. Nervürlü, Metaş ve Torçelikle donatılmış kirişlerde, maksimum birim uzmanlar sırasıyla $0,0118 \text{ cm/cm}$ ve $0,0108 \text{ cm/cm}$ olarak ölçülmüştür. Ölçülen kritik deformasyon değerleri tablo 3 de verilmiştir.

Tablo 3 de «3» numaralı elemenin kırılma adındaki deformasyon değerleri diğer elemenlere nazaran küçüktür. Bu kirişte deformasyonların küçük olmasının nedeni elemenin donatı akma sınırına ulaştığı anda yüksek olan kayma gerilmelerinin etkisi ile mesnet ve yük arasındaki eğik bir çatıktan kırılmasıdır.

d) Tarafsız Eksenin Değişmesi

Şekil 12 de tarafsız eksenin mo-

ment ile değişmesi $2-\varnothing 10$ Metaş çeliği ile donatılmış bir elemen için verilmiştir. Deney sonucu elde edilen şeklin taşıma gücü teorisi ile uygunluğu ilginçtir. Ma-lum olduğu üzere, bu teoride, donatı akma sınırına ulaştıktan sonra artan deformasyonla tarafsız eksenin yükseleceği ileri sürülmektedir.

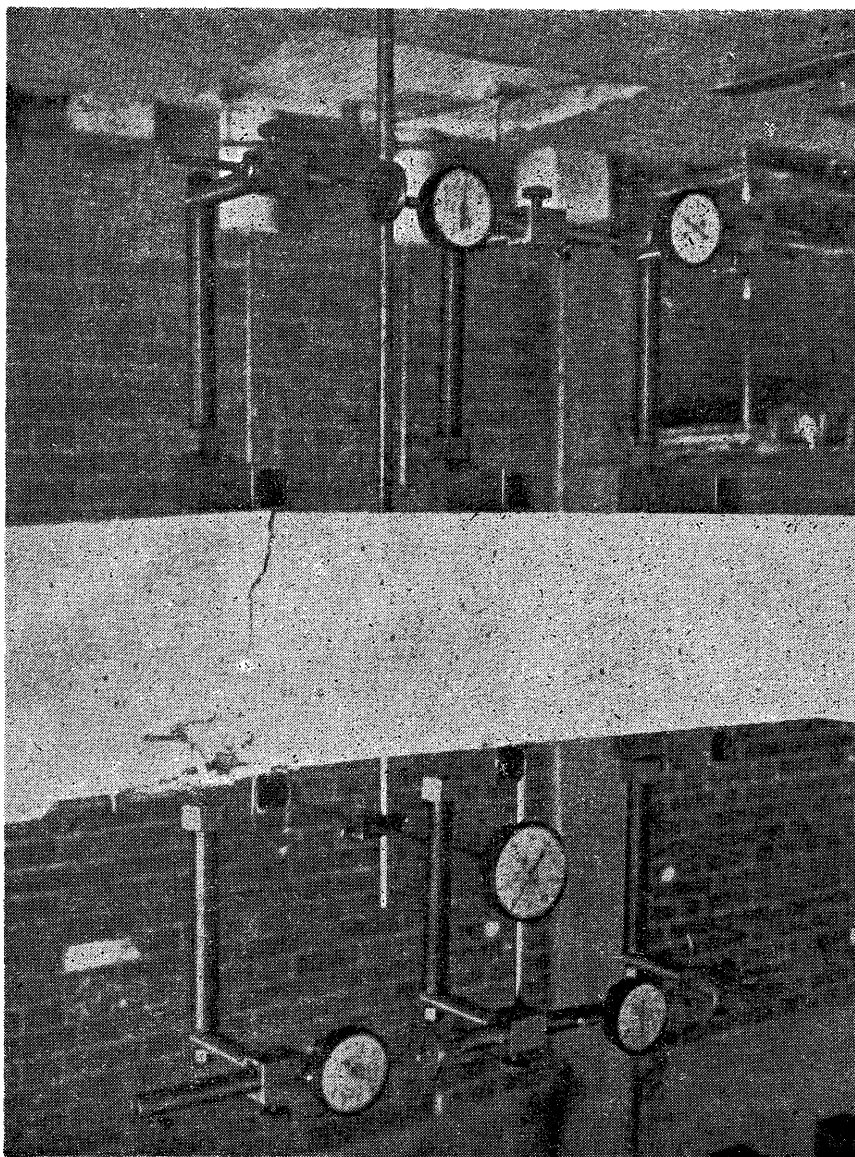
Şekil 12 de bu husus açık olarak görülmektedir.

3. Kirişlerin Taşıma Gücü

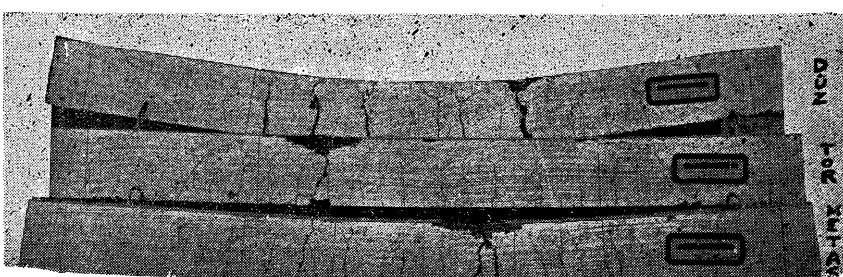
Kirişlerin taşıma gücüne, donatı akma sınırına ulaştığı zaman eriği kabul edilmiştir. Akma sınırı belirli, normal çeliklerde, bu sınır ullaşıldığından deformasyon artmasına rağmen gerilme sabit kalacağından, bu tip çelikle donatılmış kirişlerdeki toplam çekme kuvveti akma sınırından sonra sabit kalır. Hernekadar beton basınç bölgesinin küçülmesi ile moment kolundaki artış mukavemet

TABLO 3 — ÖLÇÜLEN KRİTİK DEFORMASYON DEĞERLERİ

Kiriş No.	Δ mm	Donat Şartnamedeki Emniyet Gerilmesine Ulaştığında			Donat Garanti Edilen Akma Sınırına Ulaştığında			Kirılma Anındaki Maksimum Değerler			
		σ	ε_B	ε_e	Δ mm	\varnothing	ε_B	ε_e	Δ mm	\varnothing	ε_B
1	2,3	0,00005	0,00048	0,00048	4,6	0,00009	0,00054	0,00080	76,4	0,00188	0,00573
2	2,5	0,00004	0,00040	0,00055	8,7	0,00015	0,00120	0,00140	39,5	0,00073	0,00410
3	2,0	0,00005	0,00050	0,00555	7,4	0,00015	0,00098	0,00168	14,0	0,00026	0,00171
4	2,9	0,00005	0,00025	0,00070	7,8	0,00016	0,00065	0,00210	43,0	0,00098	0,00410
5	3,5	0,00006	0,00060	0,00066	7,1	0,00012	0,00135	0,00103	25,7	0,00032	0,00400
6	4,1	0,00008	0,00070	0,00077	7,2	0,00013	0,00120	0,00115	18,0	0,00068	0,00490
											0,00730



Şekil 5 — Rotasyon Aleti



Şekil 6 — Üç Ayrı Tip Çelikte Donatılmış Kirişlerin Deneyden Sonra Görünüşleri

... İNCELEMELER

momentini etkilerse de, momentdeki artış genel olarak % 5 i geçmez. (3) Yani bu tip çelikle donatılmış kırışların taşıma gücüne, donatı akma sınırına ulaşlığı zaman eriştiği kabulü makuludur.

Soğuk işleme tabi tutulmuş özel beton çeliklerinde (Torçelik gibi) belirli bir akma sınırı yoktur. Çelik itibarı akma gerilmesine ulaştıktan sonra, az da olsa gerilme artışı devam eder. Bundan dolayı bu tip çelikle donatılmış kırışların kırılma momenti, itibarı akma gerilmesine tekabül eden momentten oldukça büyuktur. (4) (5) Torçelikle donatılmış kırışlerde ki bu moment artışı Şekil 9 da açık olarak görülebilir. Tablo 4 de denenen elemanların ulaşığı maksimum momentler, taşıma gücü teorisine göre hesaplanan momentlerle karşılaştırılmıştır. Taşıma gücü, önce kırışte kullanılan donatının ölçülen akma sınırına göre, bilâhare şartnamelerde bu tip çelik için verilen minimum akma gerilmesine göre hesaplanmış olup, her iki değer de Tablo 4 de gösterilmiştir. Buna ilâveten, Tabloda şartnamelerde verilen çelik emniyet gerilmeleri kullanılarak hesap edilen mukavemet momentleri de deney sonuçları ile karşılaştırılmıştır.

M_t = Bu tip çeliğin şartnameerde gösterilen minimum sına göre hesaplanan moment.

3) Tablodaki M_t ve M_a değer-

Tablo 4 — Teorik Mukavemet Momentlerinin Deney Sonuçları ile Karşılaştırılması

Kırış No.	M_t	M_u	M_t / M_u	M_a	M_t / M_a	M_e	M_t / M_e
1	2	3	4	5	6	7	8
1	70	68,5	1,02	58	1,21	36,8	1,91
2	150	126,0	1,18	108	1,38	51,5	2,92
3	155	150,0	1,03	107	1,45	50,8	3,00
4	165	154,0	1,07	112	1,47	53,2	3,10
5	240	222,0	1,08	174	1,38	111,0	2,21
6	225	212,0	1,06	173	1,30	110,0	2,02

Not : 1) Tablodaki moment değerleri cm cinsindendir.

2) M_t = Deneyde ulaşılan maksimum moment.

M_u = Çelik numunelerinden elde edilen σ_a 'ya göre hesaplanan moment (σ_a tablo — 1 den alınmıştır).

Çelik Cinsi	Minimum akma Gerilmesi	Emniyet Gerilmesi
St — 1	2200 kg/cm ²	1400 kg/cm ²
St — III—a	4200 »	2000 »
St — III—b	4200 »	2000 »

lerin hesaplarında kullanılan çelikteki minimum akma ve emniyet gerilmeleri aşağıda verilmiştir.

Tablo 4 de görüldüğü gibi kırışlar, taşıma gücüne göre hesaplanan moment teşerlerine ulaşmışlardır. Tablonun 4. kolonunda verilen değerler, her deney sonucu elde edilen momentlerin, teorik momentlerden daima daha büyük olduğunu göstermektedir. Deney sonucu elde edilen maksimum momentlerin, şartnamede gösterilen minimum akma gerilmesine göre hesaplanan moment değerlerine oranı en az 1,21 olup, denenen altı eleman için ortalama 1,36 dir. Kesit mukavemet momentleri şartnamede öngörülen emniyet gerilmesine göre hesaplandığında, bu oranın nervürsüz çelikle (St—I) donatılmış kırışlerde yaklaşık olarak 2,0, nervürlü Metaş (St—III—a) veya Torçelikle (St—III—b) donatılmış kırışlerde ise yaklaşık olarak 3,0 olduğu görülmüştür. Bu rakam, kesit momenti emniyet gerilmeleri kullanılarak hesaplandığına göre, bir emniyet katsayısi olarak kabul edilebilir. Tablo 4 ün 8. kolonundaki rakamlar incelenirse emniyet katsayısının nervürlü çelikle donatılmış kırışlerde daha yüksek

olduğu görülür.

Daha önce belirtildiği gibi, M_t / M_e oranı emniyet katsayısını temsil eder. St—III çeliği ile donatılmış kırışlerdeki emniyet katsayısının St—1 ile donatılmış kırışlerdeki nazaran % 50 daha büyük olmasının başlıca üç nedeni vardır.

i) Şartnamede öngörülen emniyet gerilmeleri St—I için $2,2$
 $= 1,6$, St—III için ise $1,4$
 $= 3,0$ emniyet katsayılarını vermektedir.

ii) Deneyde kullanılan St—I çeliklerde ölçülen akma sınırı, şartnamede verilen minimum değerden yaklaşık olarak % 23 fazla iken bu fazlalık St—III—a (Metaş) için yaklaşık olarak % 40 dir.

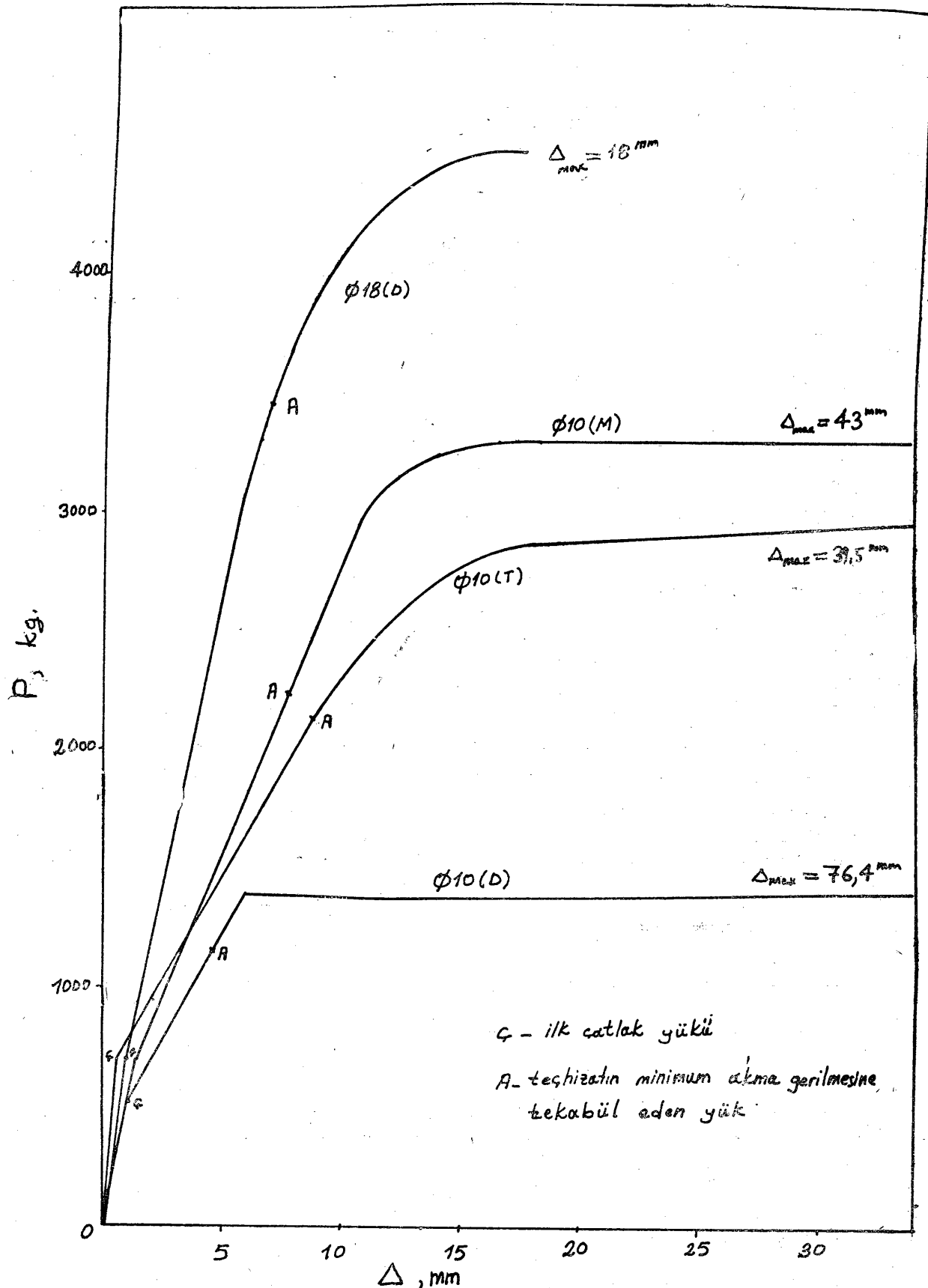
iii) St—III—b (Torçelik) de hernekadar ölçülen itibarı akma sınırı, verilen minimum değerden ancak % 19 fazla ise de, bu çelikteki gerilmeler akma sınırından sonra artmaya devam etmekte ve momenti etkilemektedir.

IV — YORUMLAR

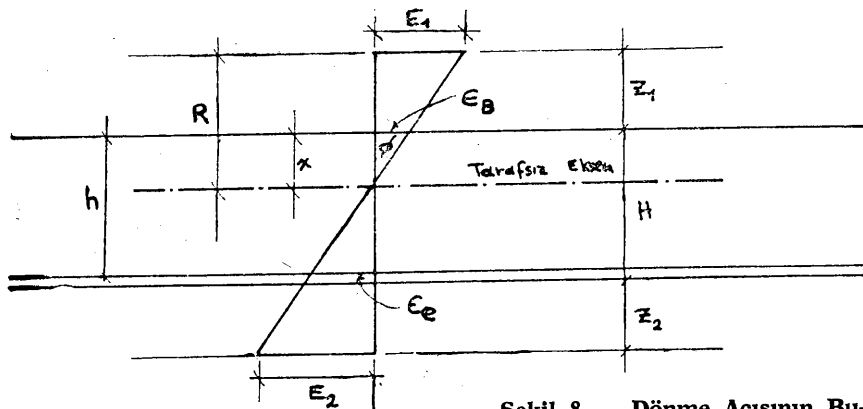
Yapılan altı adet kırış deneyi sonunda kesin kanaatler belirtmek ve genellemeler yapmak doğru olmaz. Burada deney sonucu elde edilen bulgular özetlenecektir.

1. Nervürsüz çelikle donatılmış kırışlerde çatlaklar arasındaki mesafe nervürlü çelikle donatılanlara nazaran daha fazla olup, çatlakların daha geniş olduğu müşahade edilmiştir.

2. St—I nervürsüz çelikle donatılmış kırışlar, St—III nervürlü çeliklerle donatılmış kırışlere nazaran daha fazla deformasyon kapasitesine sahiptir. St—III ile donatılmış kırışların davranışının St—I ile donatılanlara nisbetle daha gevrek olduğu görülmüştür.



Şekil 7 — Kırışların Yük — Sehim Eğrileri



Şekil 8 — Dönme Açısının Bulunması

Not : 2 — $\varnothing 18(D)$ ve 2 — $\varnothing 10(M)$ kirişlerinden yalnız birer adet gösterilmiştir

duğu müşahede edilmiştir.

8. Denenen bütün kirişlerin kırılma momentleri taşıma gücü teorisi ile hesaplanan değerlerden büyüktür.

9. Şartnamede öngörülen, emniyet gerilmelerine göre hesap yapıldığı takdirde, St—I nervürsüz çelikle donatılmış kirişlerde emniyet katsayısı yaklaşık olarak 2,0 iken, St—III nervürlü çeliklerle donatılmış kirişlerde bu katsayıının yaklaşık olarak 3,0 olduğu görülmüştür. Bunun nedenleri daha önce detaylı olarak izah edilmişdir.

Bu deneylerin hazırlanmasında ve ölçü aletlerinin imâline büyük emekleri geçen ODTÜ, İnşaat Mühendisliği Bölümü, Yapı Statiği Laboratuvarı teknisyenlerinden Orhan Avci ve Burhan Avci'ya ve diğer laboratuvar personeline teşekkür borç bilmekteyiz.

Literatür

1. Atımtay, E., «Time Dependent Deformations of Concrete Beams, Reinforced for Tension Only», MS Thesis, Orta Doğu Teknik Üniversitesi 1967. Yani hiç bir kirişin davranışını kabul edilemeyecek derecede gevrek değildir.

6. Betonda ölçülen maksimum birim kısalma ACI ve CEB ce öngörülen değerin üstündedir.

7. Kirişlerdeki donatı şartnamelerde öngörülen minimum akma gerilemesine ulaştığında, St—III ile donatılmış kirişlerdeki sehim ve birim dönme açısının, St—I ile donatılmış kirişlere nisbetle % 90—% 100 daha fazla ol-

urnal of American Concrete Institute, December 1955.

3. Ferguson, P.M., «Reinforced Concrete Fundamentals» John Wiley and Sons, Nnc. New—York 1964.

4. Sinha and Ferguson, P.M., «Ultimate Strength with High Strength Reinforcing Steel with an Indefinite Yield Point», journal of American Concrete Institute, April 1964.

5. Karaesmen, E., Ersoy, U., ve Yalçkaya, E., «Sogukta Burulmuş Nervürlü Torçeliklerin Özellikleri ve Bu Tip Çelikle İnşa Edilmiş Yapı Elemanlarının Mukavemet ve Davranışı», Orta Doğu Teknik Üniversitesi, İnş. Müh. Blm., Yapı Statiği Lab. Raporu, No. 8 — 105, 1969.

Notasyonlar

a = beton basınç gerilme diyagramının derinliği

B = betondaki toplam basınç kuvveti

b = kiriş gövde genişliği

C = donatıdaki toplam çekme kuvveti

F_e = toplam donatı alanı

h = kiriş faydalı yüksekliği

M_a = donatının şartnamede gösterilen minimum akma gerilmesi esas alınarak hesaplanan mukavemet momenti

M_e = donatının şartnamede gösterilen emniyet gerilmesi esas alınarak hesaplanan mukavemet momenti

M_t = deneyde ulaşılan maksimum moment

M_u = donatıdan alınan numunelerden elde edilen akma gerilmesine göre hesaplanan mukavemet momenti

P = kirişe tatbik edilen munferit yük

X = tarafsız eksene olan mesafe

σ_a = çeliğin akma gerilmesi

σ_B^* = beton silindir basınç mukavemeti

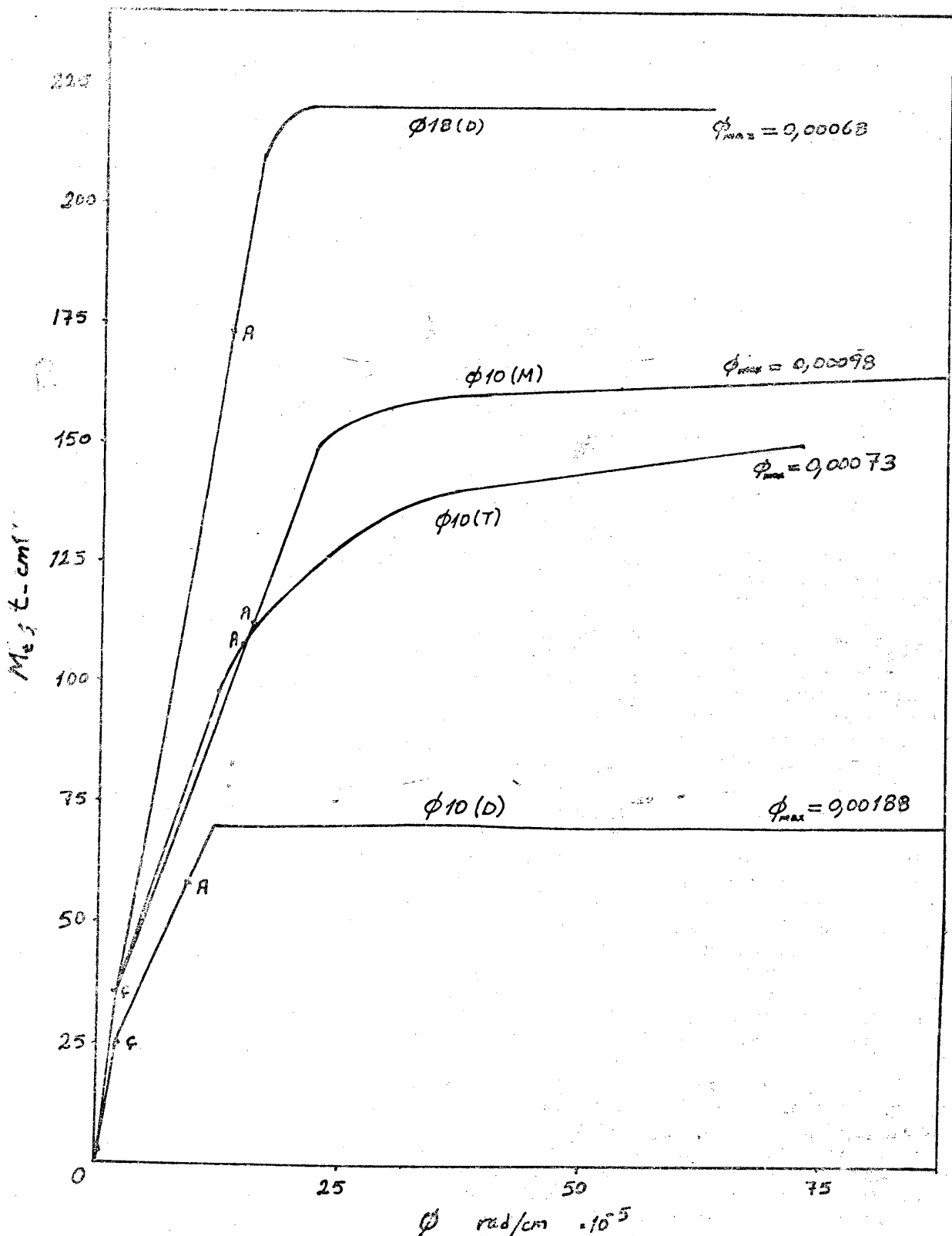
Σ_B = kiriş üst yüzündeki beton birim kısalması

Σ_e = donatındaki birim uzama

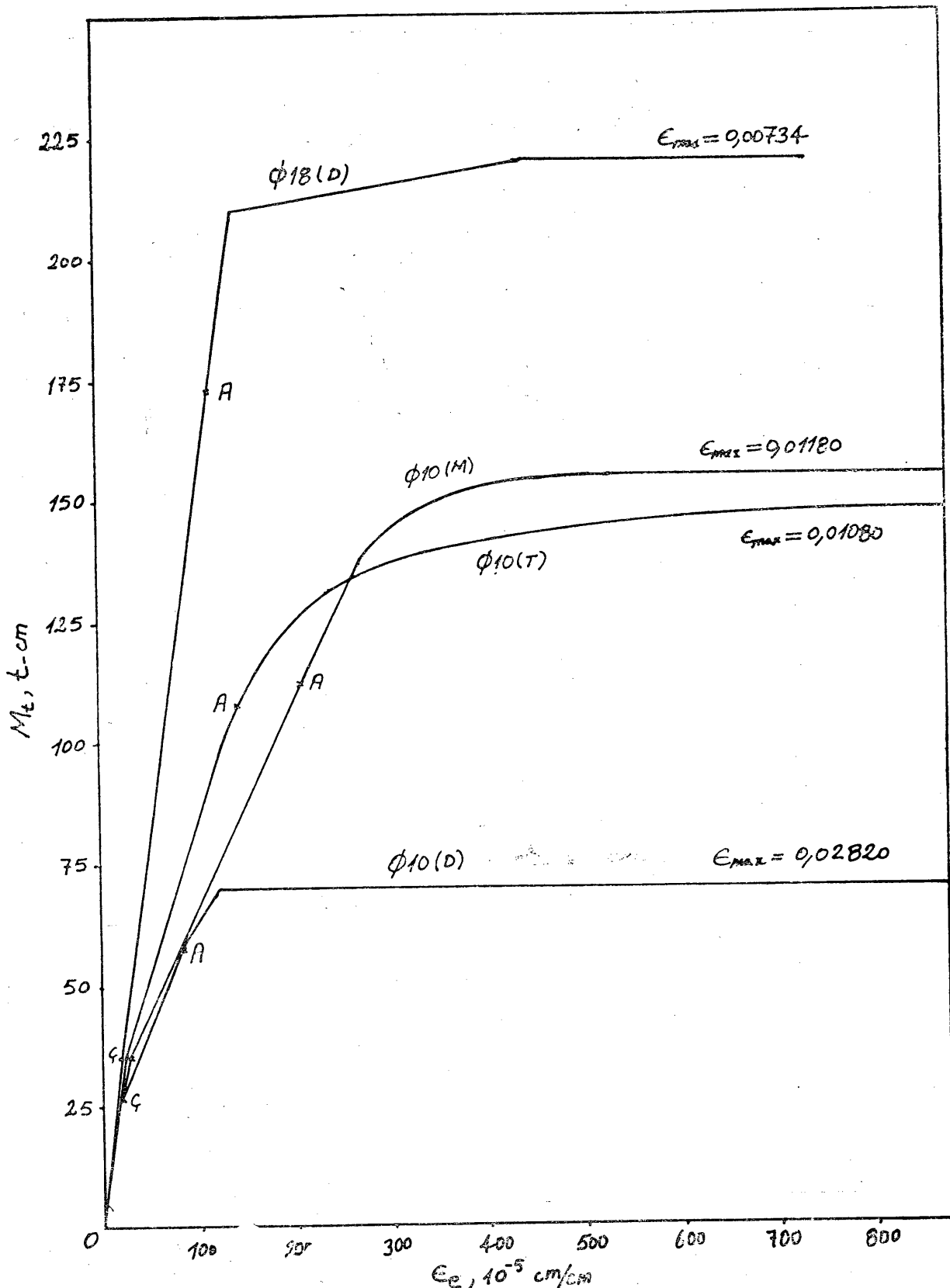
Δ = kiriş açıklık ortasındaki sehim

\varnothing = birim dönme açısı

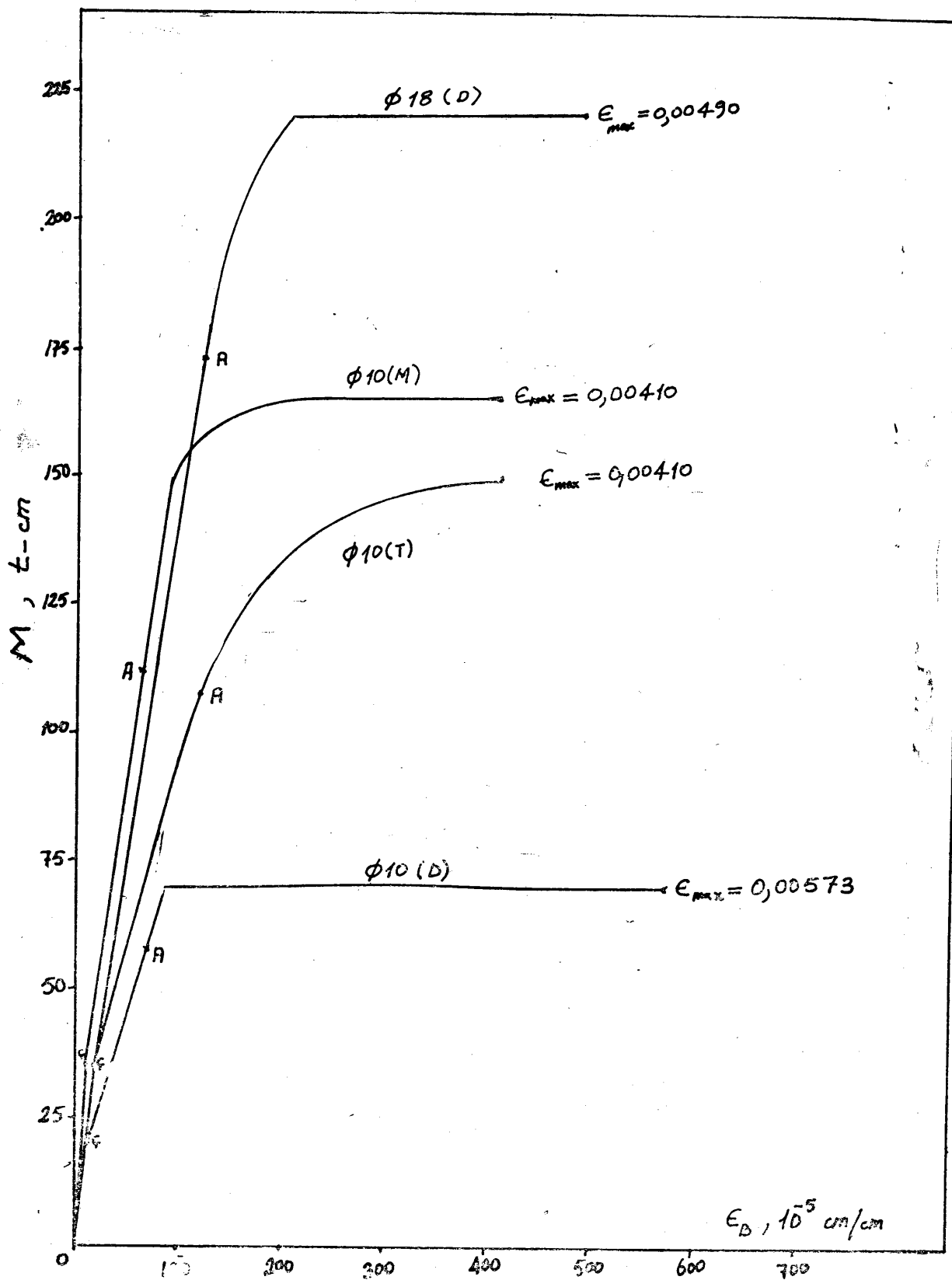
μ = donatı yüzdesi



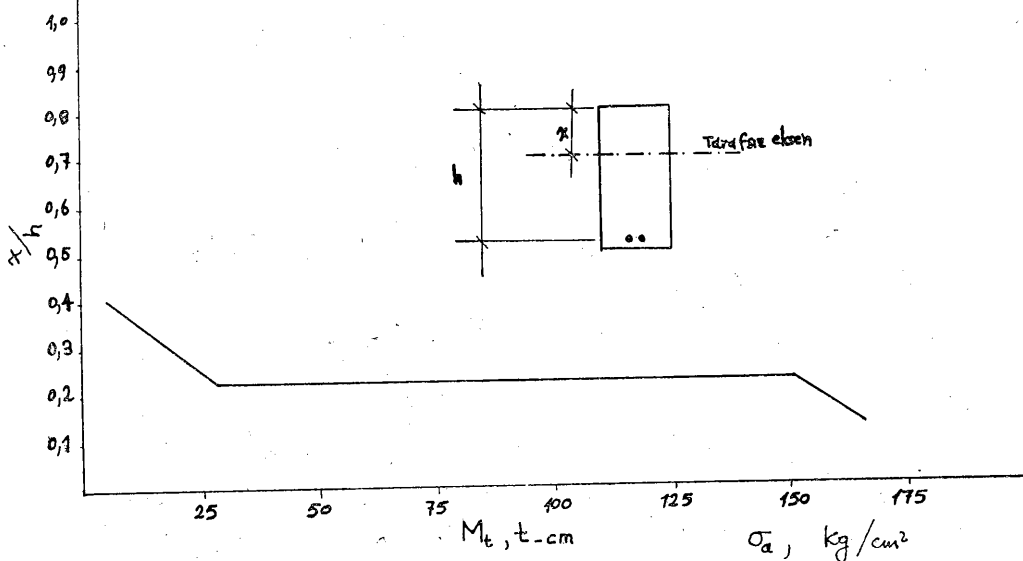
Şekil 9 — Kırışların Moment—Birim Dönme Açısı Eğrilmeleri



Şekil 10 — Donatının Birim Uzaması



Şekil 11 — Betonun Birim Kısalması



Şekil 12 — Tarafsız Eksenin Artan Moment Altında Değişimi

MÜHENDİSLİK ÖLÇÜ ALETLERİ :

TEODOLİT — TAKEOMETRE, NIVO, PUSULA, EKLİMETRE, PRİZMA, HASSAS ŞERİT METRE'ler.

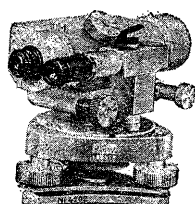
BREITHAUPT
KASSEL

Marka : F. W. BREITHAUPT und SOHN (Kuruluşu : 1762), Menşei: Batı Almanya. Üstün Kalite — İthalatçı Fiyatı.

○ İ. B. Döküm Radyatörleri Bayiliği :

İZZAL DÖKÜM SANAYİİ A. Ş. MAMULÜDÜR.

○ FAMERİT Sanayi Ltd. Şti. - İzmir Mamülleri :



Sun'ı taş yer dösemeleri, Prefabrike Merdiven basamakları, Duvar ve dış cephe kaplamaları, yurdumuzda ilk defa Dekoratif (Waschbeton) kaplamalar.

Teşhir yeri ve Ankara Mümessilliği :
TALAT KOCABAY, Yüksek Mühendis

Mithatpaşa Caddesi No. 13, Yenişehir — ANKARA — Tel. : 12 24 68 - 12 34 80

(Mühendislik — 287)